

ANAMMOX リアクターを用いたメタン発酵消化液からの窒素除去に関する基礎的検討

大阪工業大学大学院 学 ○麦本佑一郎
 大阪工業大学 工学部 正 笠原伸介、石川宗孝、古崎康哲、北尾高嶺
 日鉄環境エンジニアリング(株) 非 米田貴久

1. はじめに

メタン発酵に伴って生成される高濃度の窒素廃液(以下、消化液)を処理するには、有機物添加が不要で嫌気的にアンモニア酸化を行い得る ANAMMOX 反応の適用が有効と考えられる。しかし、ANAMMOX 菌は倍加時間が長く集積培養が困難であること¹⁾や、有機物の種類や濃度によっては増殖が阻害される²⁾ことが知られており、実廃液に適用するには効率的なリアクター開発と共存

成分の影響評価が不可欠である。

そこで本研究では、容積、形状が異なる複数の ANAMMOX

表-1 リアクターの諸元

リアクター No.	1	2	3	4	5
有効容積 (L)	14	1.25	0.5	0.2	0.2
カラム直径 (mm)	160	65	50	47	47
使用担体	菊花状不織布	園芸用ネット	粒状スポンジ	平板不織布	—
担体表面積 (cm ²)	4,400	196.7	188.8	122.2	0

リアクターを操作し、各種リアクターの窒素除去特性について検討するとともに、人工無機培地と実消化液を用いて ANAMMOX リアクターを操作し、TOC 濃度と窒素除去速度の関係について検討した。

2. 実験概要

本研究では、各種リアクターにおける窒素除去特性を評価するための実験 I と消化液由来の TOC が窒素除去速度に及ぼす影響を評価するための実験 II を行った。実験 I では、図-1 および表-1 に示す全てのリアクターを用い、 $(\text{NH}_4)_2\text{SO}_4$ と NaNO_2 を主成分とする無機培地³⁾を窒素容積負荷 $0.1 \text{ kg-N} \cdot \text{m}^{-3} \cdot \text{day}^{-1}$ より段階的に増加させて供給した。容積 14 L のリアクター No.1 においては槽内水を流量 $15 \text{ L} \cdot \text{min}^{-1}$ で循環させた。実験 II では、リアクター No.4 を 3 箇用い、実験 I で用いた無機培地と食品廃棄物のバイオマスプラントより採取した実消化液(表-2)を所定の TOC、 $\text{NH}_4\text{-N}$ および $\text{NO}_2\text{-N}$ 濃度となるよう混合して供給した(表-3)。消化液は、12800 g で 45 min 間遠心分離した後 $0.45 \mu\text{m}$ メンブレンフィルターで加圧ろ過し、実験に供した。3 箇それぞれの HRT は、4、2 および 1 hr (窒素容積負荷は 3.0 、 6.0 および $12 \text{ kg-N} \cdot \text{m}^{-3} \cdot \text{day}^{-1}$) となるよう操作した。

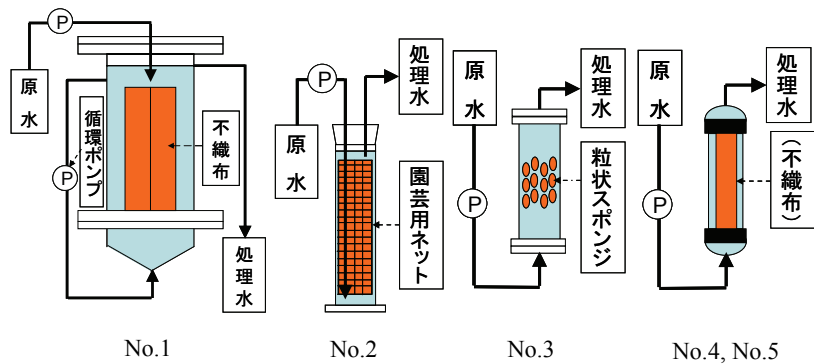


図-1 実験装置の概要

表-2 消化液の性状

項目	単位	原液	$0.45 \mu\text{m}$ ろ液
TS		15956	2678
SS	$(\text{mg} \cdot \text{L}^{-1})$	13278	-
VTS		3983	1020
VSS		2963	-
TOC	$(\text{mg-C} \cdot \text{L}^{-1})$	3208	-
DOC		-	955
T-N		4086	3032
$\text{NH}_4\text{-N}$	$(\text{mg-N} \cdot \text{L}^{-1})$	-	3026
$\text{NO}_2\text{-N}$		-	1.09
$\text{NO}_3\text{-N}$		-	5.15

表-3 供試水の条件 (実験 II)

RUN	1	2	3	4	5
運転日数 (day)	7	7	7	7	7
$\text{NH}_4\text{-N}$ ($\text{mg-N} \cdot \text{L}^{-1}$)				260	
$\text{NO}_2\text{-N}$ ($\text{mg-N} \cdot \text{L}^{-1}$)				237	
TOC ($\text{mg-C} \cdot \text{L}^{-1}$)	7	12	18	35	42

キーワード ANAMMOX、窒素除去、メタン発酵消化液、TOC 濃度、リアクター

連絡先 〒535-8585 大阪府大阪市旭区大宮 5-16-1 大阪工業大学 工学部 環境工学科 TEL 06-6954-4375

3. 各種リアクターの窒素除去特性

図-2 に窒素容積負荷と窒素除去速度の推移を示す。いずれの条件においても、ANAMMOX リアクターは運転開始後速やかに立ち上がり、容積が小さいリアクター No.4 および 5 では運転開始直後より、容積が大きいリアクター No.1 でも運転開始 3 週間後には ANAMMOX 反応による明確な窒素除去が確認された。また、その後得られた窒素除去速度に注目すると、リアクターの容積や担体の有無に関係なくいずれも窒素容積負荷の 70~80%に達し、最大窒素除去速度は、容積 14 L のリアクター No.1 において $2.8 \text{ kg-N} \cdot \text{m}^{-3} \cdot \text{day}^{-1}$ 、容積 0.2 L (担体無し) のリアクター No.5 において $9.8 \text{ kg-N} \cdot \text{m}^{-3} \cdot \text{day}^{-1}$ と高速で窒素除去を行えた。

4. TOC 濃度と窒素除去速度の関係

実験 II では、図-3 に示すように無機培地を用いて窒素容積負荷を徐々に上昇させ、 $9.8 \text{ kg-N} \cdot \text{m}^{-3} \cdot \text{day}^{-1}$ (窒素除去速度 = $7.3 \text{ kg-N} \cdot \text{m}^{-3} \cdot \text{day}^{-1}$) に到達した段階で HRT の調整および消化液の供給を開始した。図-4 に投入基質の TOC 濃度と窒素除去速度の関係を示す。TOC 濃度が $35 \text{ mg-C} \cdot \text{L}^{-1}$ 以下の場合、HRT=4、2、1 hr における窒素除去速度は $2.5 \sim 2.8$ 、 $4.7 \sim 5.5$ 、 $8.3 \sim 8.7 \text{ kg-N} \cdot \text{m}^{-3} \cdot \text{day}^{-1}$ と TOC 濃度の上昇に伴う窒素除去速度の顕著な低下は見られなかつたが、TOC 濃度が $42 \text{ mg-C} \cdot \text{L}^{-1}$ では、HRT=1 hr において窒素除去速度が約 30 % 低下した。このことは、消化液中の有機物による ANAMMOX 細菌の活性阻害もしくは従属栄養脱窒との競合による窒素除去速度の低下に起因すると考えられ²⁾、有機物を含む消化液に ANAMMOX リアクターを適用する場合、HRT を長く設定することが重要であることが示唆された。

5. おわりに

本研究では、無機培地を用いた ANAMMOX リアクターの早期立ち上げと高速窒素除去に成功し、メタン発酵消化液中に含まれる溶存有機物濃度と窒素除去速度の関係を明らかにした。今後は、より高濃度領域でのリアクターの適用と SS 成分への対応を想定した検討が必要である。

最後に、種汚泥をご提供頂いた熊本大学 古川教授ならびに広島大学 金田一先生に感謝致します。また、本研究の一部は、国土交通省より助成を得て遂行したことを付記し、関係各位に感謝の意を表します。

【参考文献】 1)今城麗ら, (2001) ANAMMOX 微生物の集積培養とその形態学的特徴, 第 35 回水環境学会講演集, 78. 2)稻森悠平ら, (2007) 有機物が嫌気性アンモニア酸化反応場へ及ぼす影響, 第 41 回水環境学会講演集, 304. 3)Van de Graaf et al., (1996) Autotrophic growth of anaerobic ammonium-oxidizing micro-organisms in a fluidized bed reactor, Microbiology, Vol.142, 2187-2196.

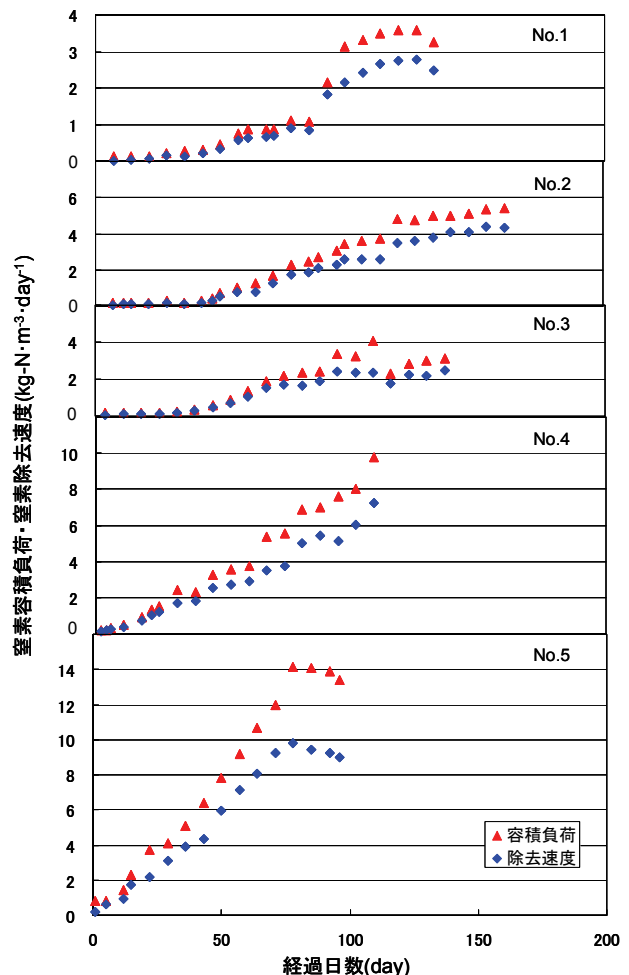


図-2 窒素容積負荷と窒素除去速度の推移

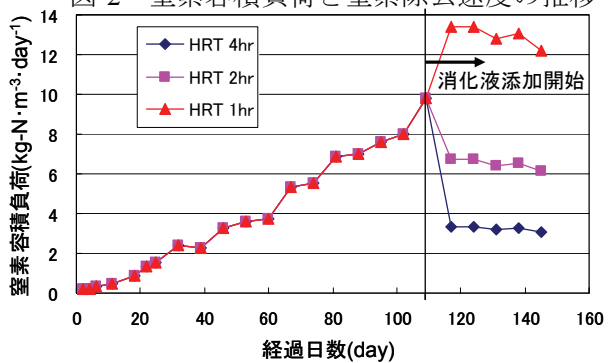


図-3 窒素容積負荷の推移

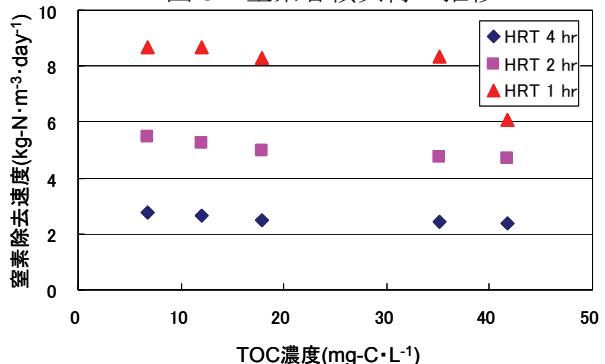


図-4 TOC 濃度と窒素除去速度の関係